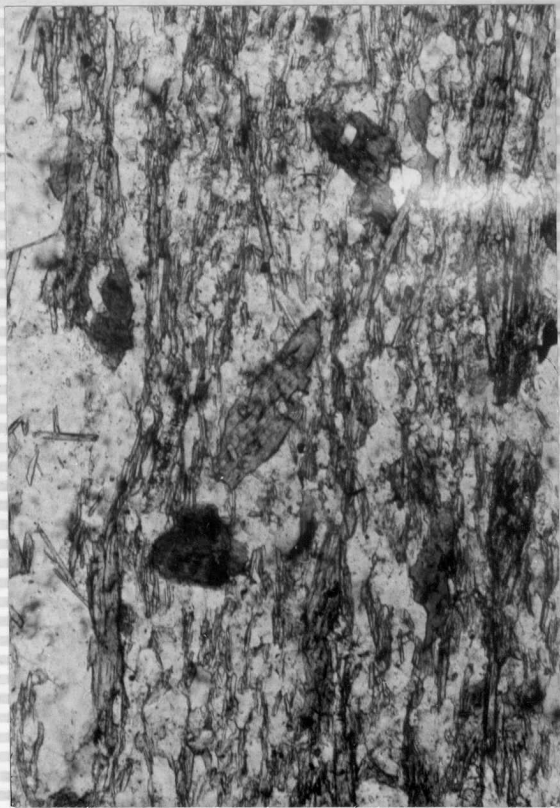
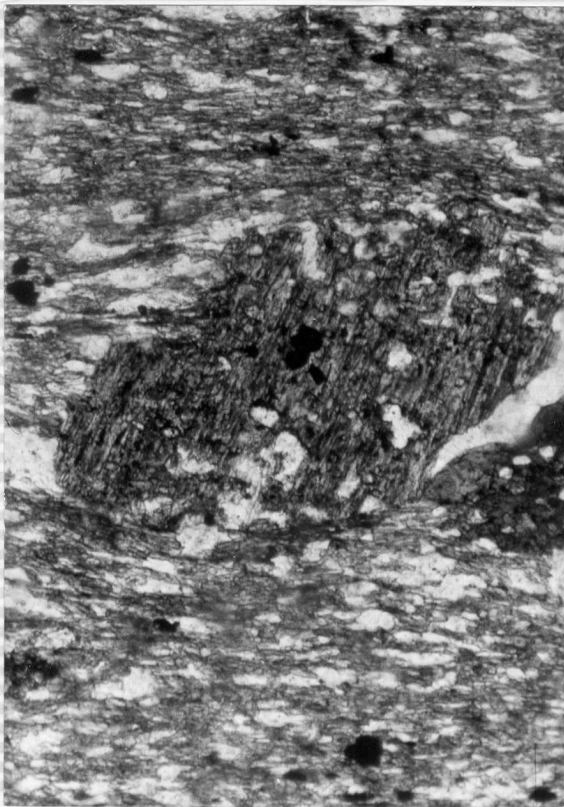




60.- Esquisto con granate, post.
 S_1 , serie de Villalba. PM. 60.
N // 90 (PC ξ + ξ A).



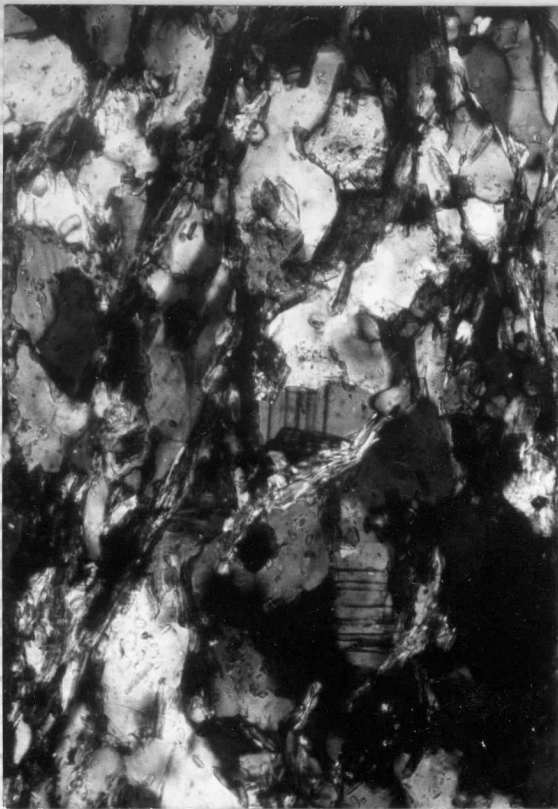
63.- Esquisto biotítico. Las biotitas son post. S. Serie de Villaalba. PM.63. N // 140. (PCξ+ξA)



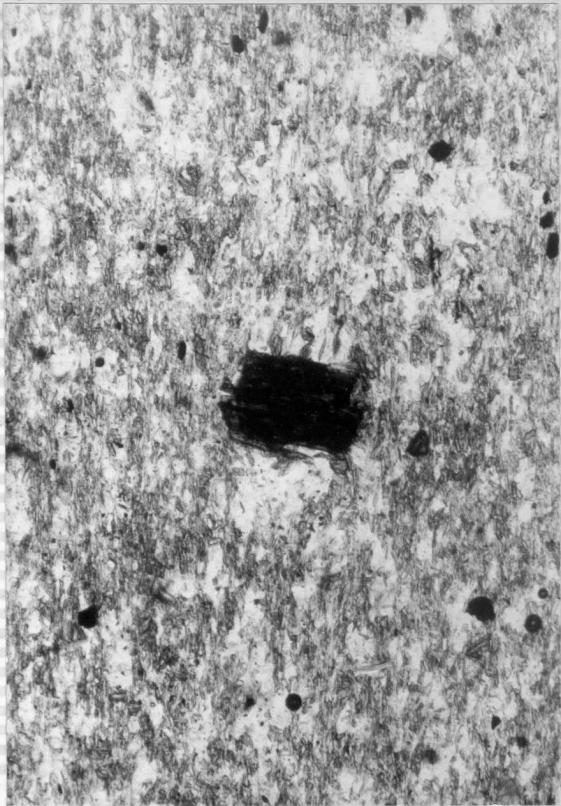
511.- Esquisto biotítico. Las biotitas son post. S_1 pero han sufrido un aplastamiento posterior dando colas de presión. Serie de Villalba GL-511 N //140 (PC ξ + ξ A).



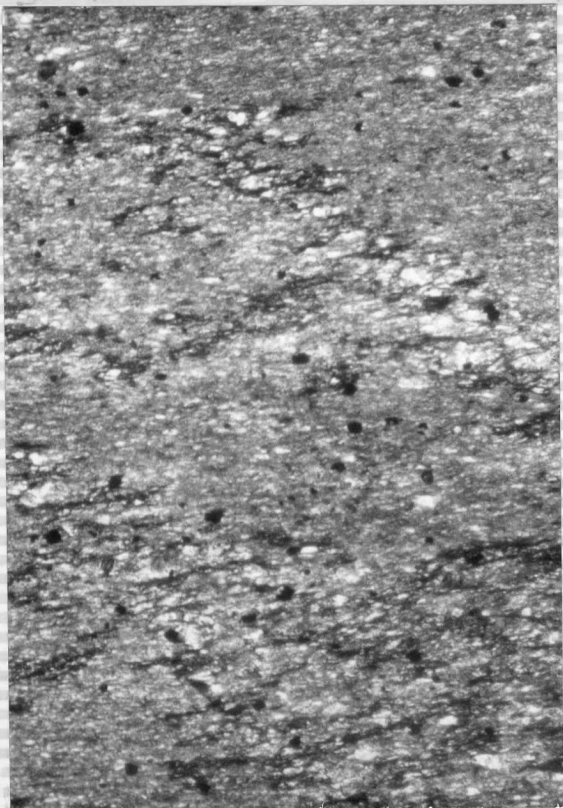
1.012.- Cuarcita con textura grano blástica orientada. Cuarcita de -- Candana inferior. MC. 1.012. N // 140 (CA₁).



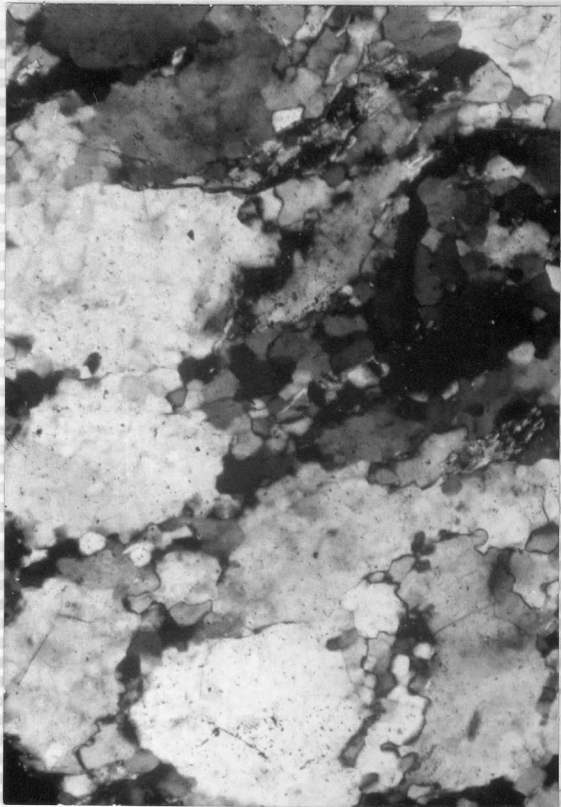
1.054.- Esquisto de cuarzo y pizarras y carbonatos de Candana MC.
1.054. N x 280. (CAJP1 y c).



38.- Pizarra sericítica con biotita
post. S₁. Pizarras y carbonatos de
Candana! PM. 38 N. // 140.
(CA₁P₁).



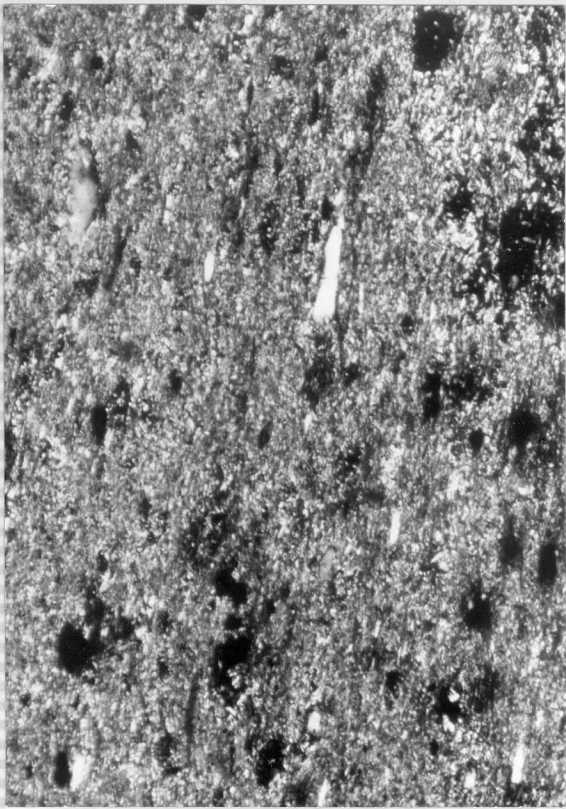
39.- Pizarra sericítica. Se observan las relaciones entre la estratificación y esquistosidad. Pizarras y Carbonatos de Candana. PM. 39 N // 90. (CA₁P₁).



1.003.- Cuarcita con textura en mortero. Cuarcita de Candana superior
MC. 1.003. N x 140. (CA₁q).



547.- Pizarra sericítica con porfiro
blastos de biotita post. S_1 . que ha
sufrido un aplastamiento posterior -
dando sombras de presión. Intercala-
ciones pizarrosas en la Cuarcita de
Candana Superior. N// 140. (CA₁q).

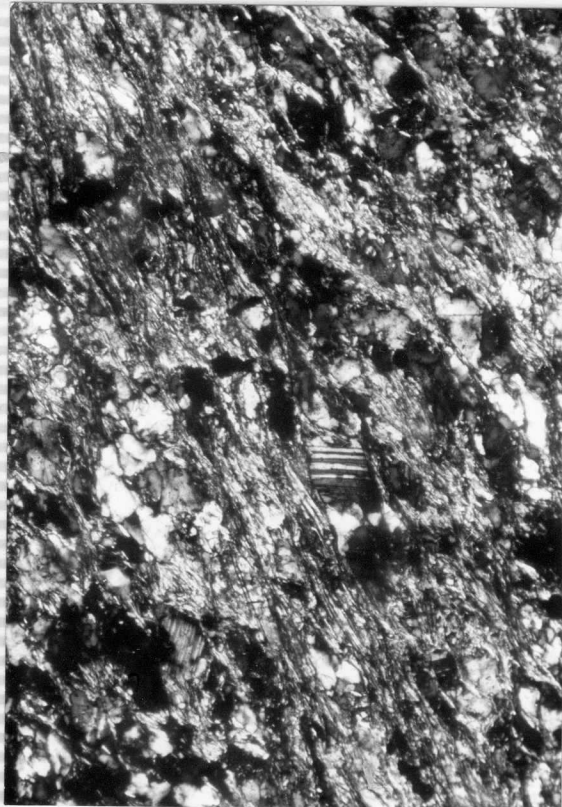


547.- Misma muestra que la anterior
donde se observan los granos de ---
cuarzo aplastados según la esquistosidad. N x 140.

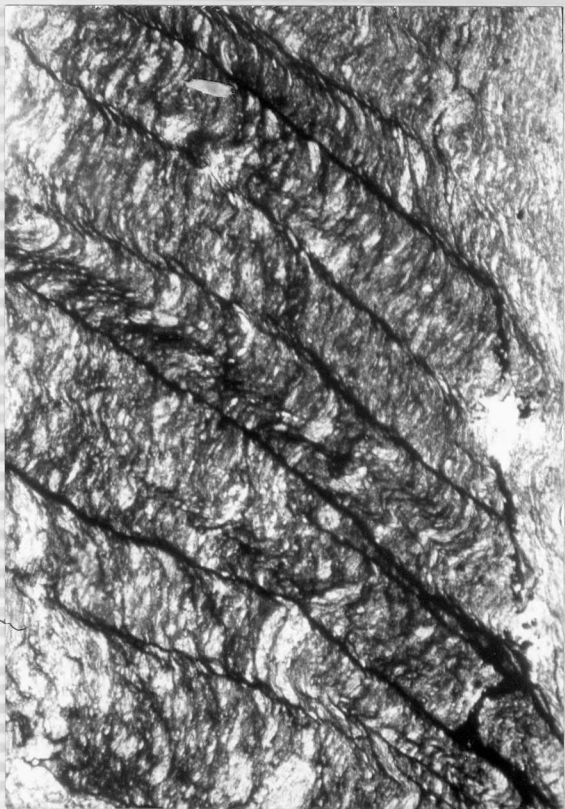
(CA₁q).



9.- Pizarra carbonosa, con clastos de cuarzo que dan sombras de presión Capas de tránsito PM-9 N // 90 (CA_1P_2) .



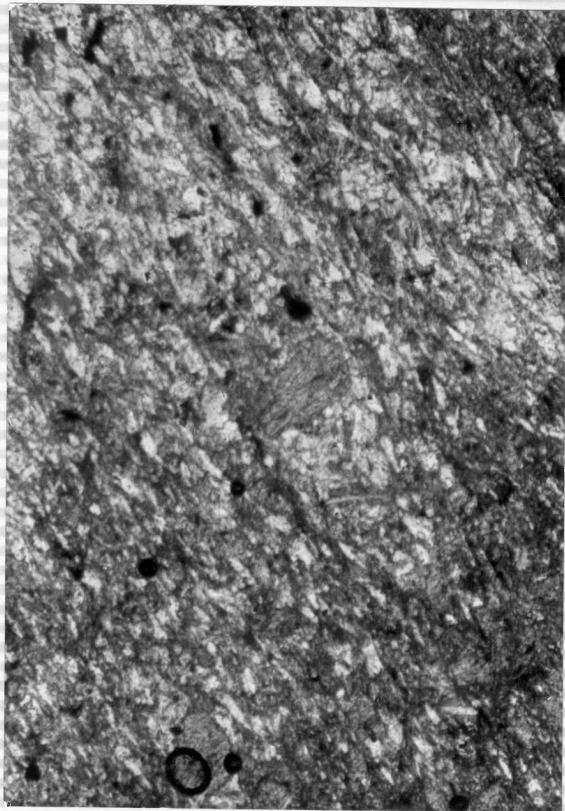
517.- Esquisto de cuarzo y mica con granos de plagioclasa. Capas de -- tránsito N x 140. (CA₁P₂) .



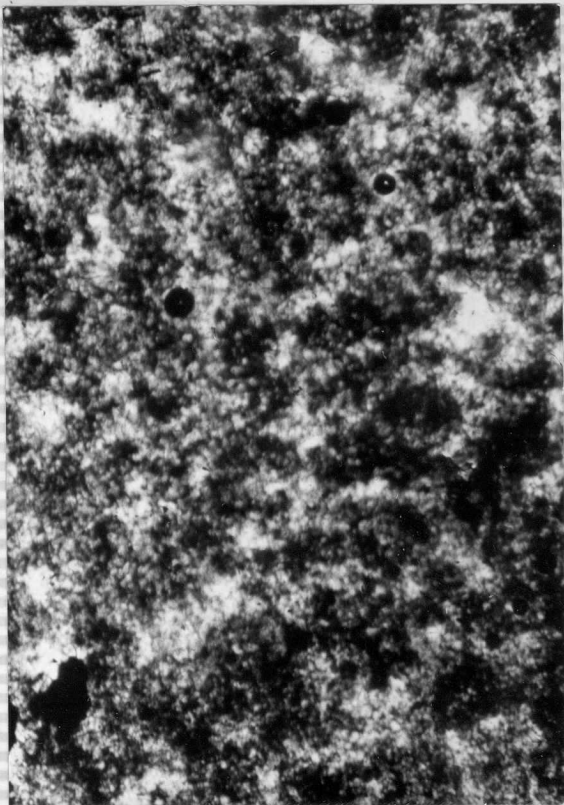
7.- Pizarra serícíta, donde se observa una crenulación sobre S, Capas de Villamea. PM-7. N. // 140
(CA2-3-0112)



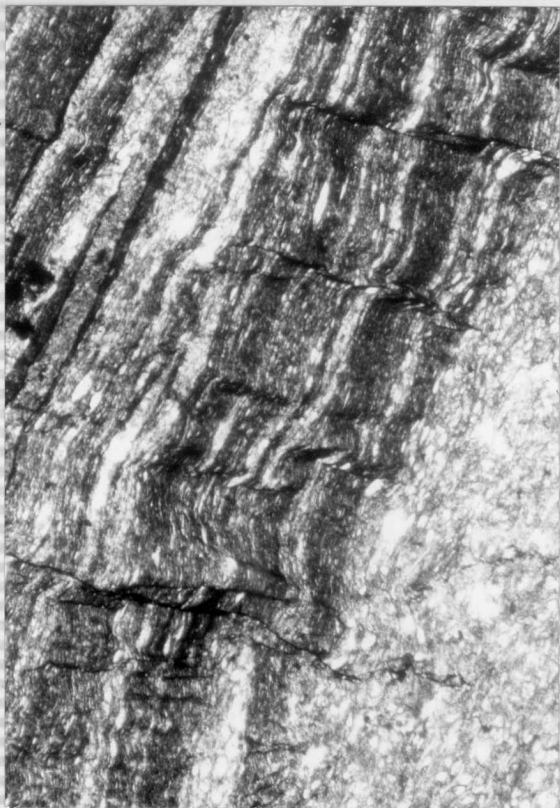
19.- Pizarra esquistosa, donde se observan las relaciones estratificación-esquistosidad. Capas de tránsito. PM.19 N // 90.
(CA₁P₂).



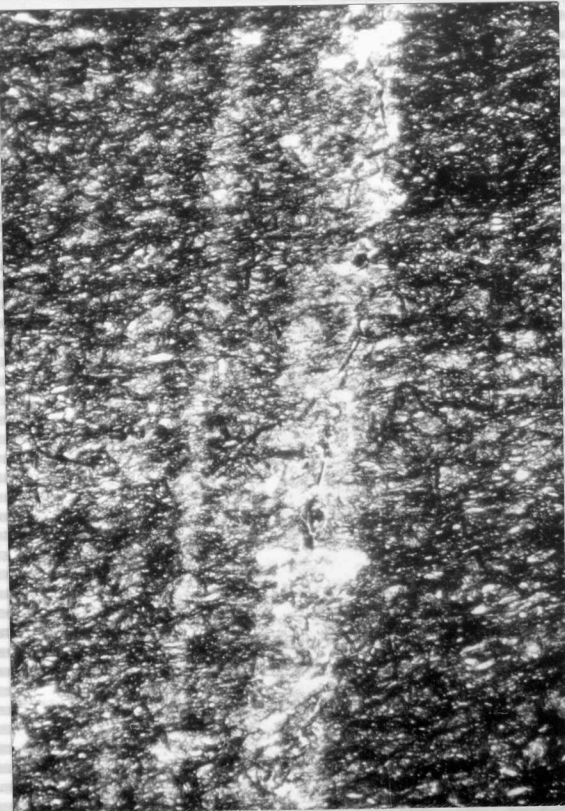
19.- Detalle de la anterior, en donde se observa el "clivage" de las cloritas perpendicular a la S_1 . N // 140.
(CA₁P₂)



540.- Pizarras carbonosas ampelíticas de las Capas de tránsito.
GL-540. N // 140. (CA₁P₂)



610.- Pizarras de Luarca con crenulación sobre S_1 incipiente en los niveles más micáceos. GL. 610. N // 90 (0₂)



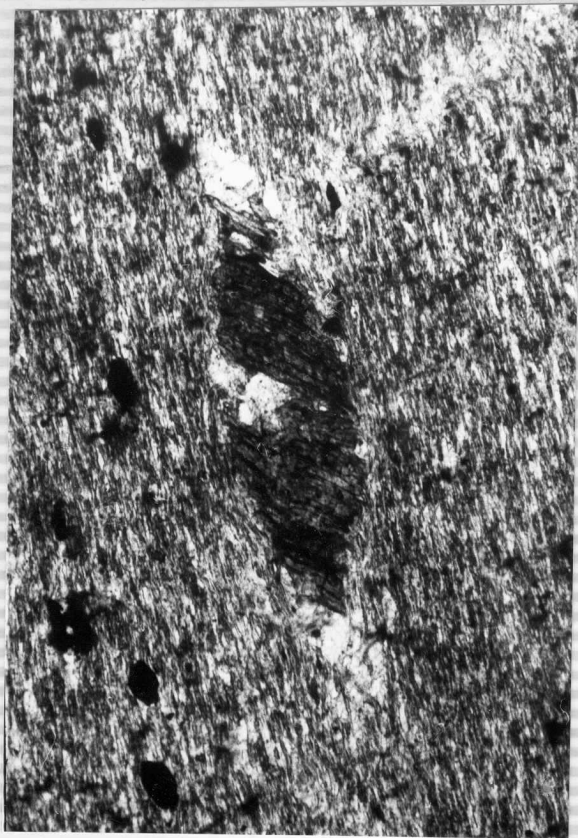
590.- Pizarras de Luarca donde se observan las relaciones estratificación-esquistosidad. GL. 590. N // 90 (0₂).



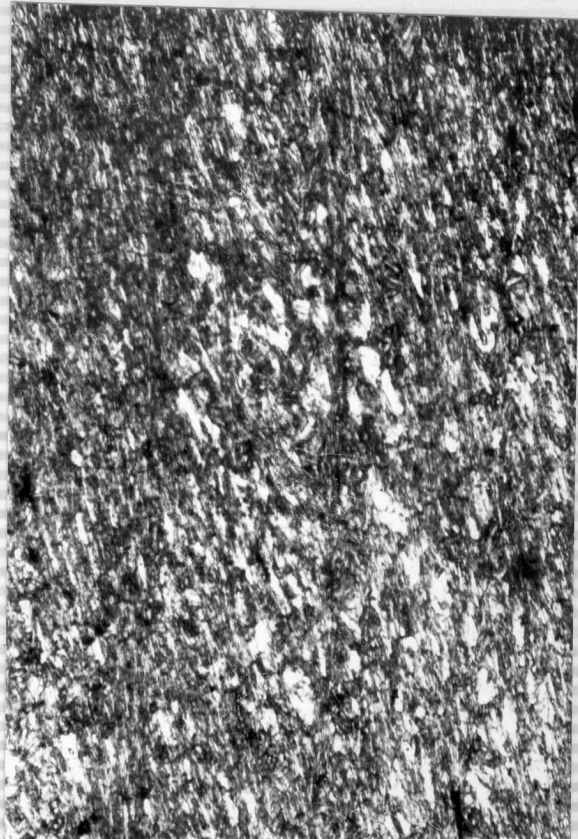
507.- Pizarra sericítica de Candana
con biotitas post. S_1 . GL. 507 N //
140. (CA₁P₁).



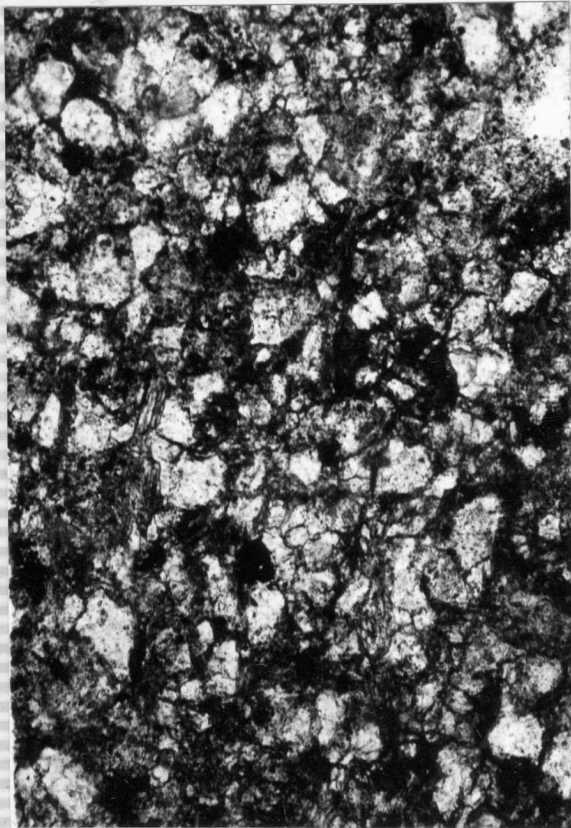
29.- Biotita post. fase 1. PM-29.
N // 140. (PCξ+ξA).



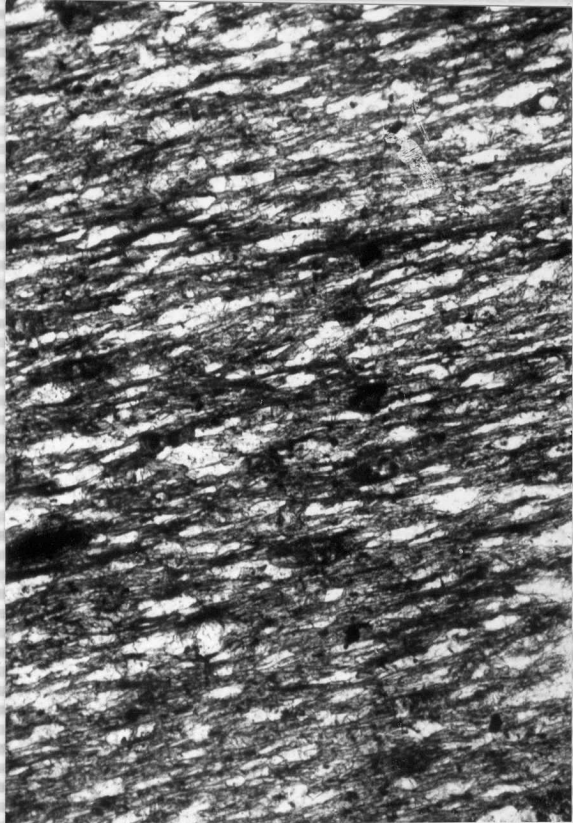
1.019.- Biotita post. fase 1 pero
que ha sufrido un aplastamiento -
posterior. MC-1.019. N// 140
(CA₁P₁).



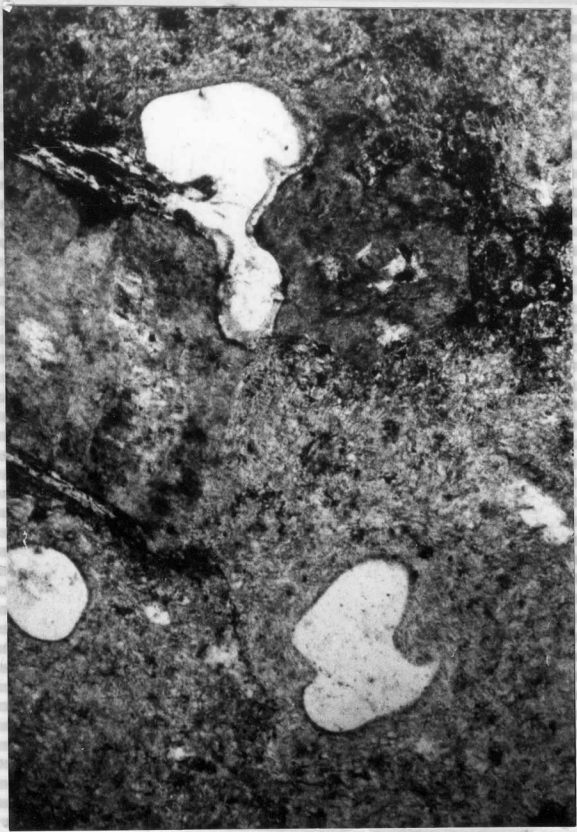
1.068.- Esquistosidad S_1 ligeramente crenulada por una segunda esquistosidad S_2 . MC-1.068. N // 140 (CA₁P₁).



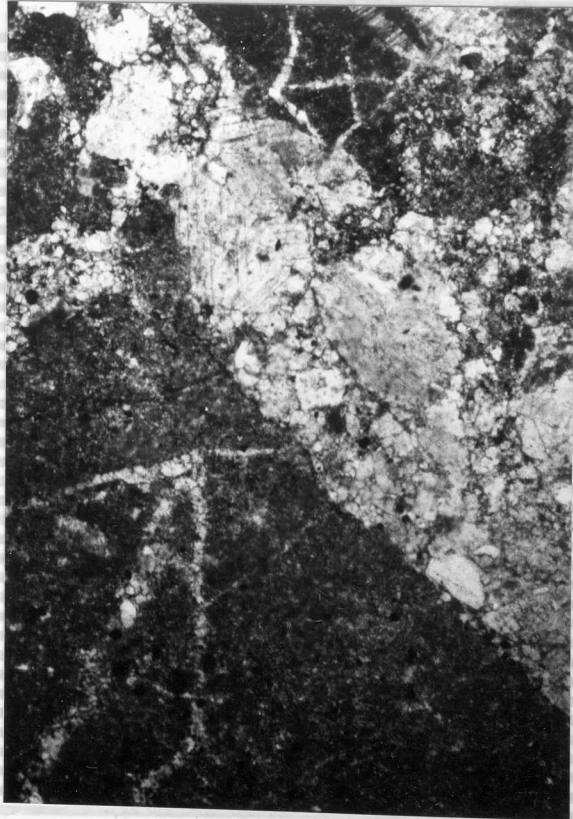
1.039.- Arenisca de la Cuarcita de
Candana inferior. MC-1039. N //140
(CA₁)



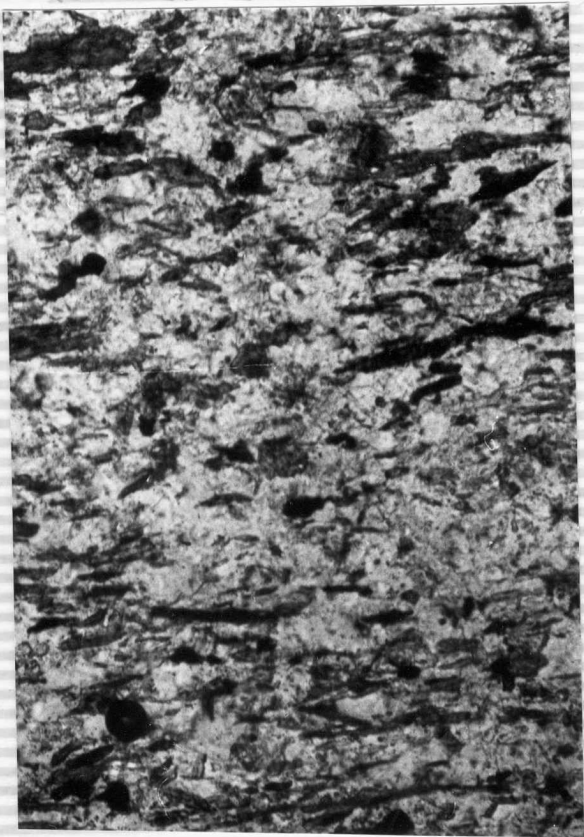
1.059.- Pizarra de Candana con gra
nos de cuarzo alargados según la e
quistosidad S_1 . MC-1.059 N // 140
(CA₁P₁)



1.061.- Cuarzos corroídos en un fi-
lón de pórfido cuarcífero. (F0).
MC-1.061. N // 90.



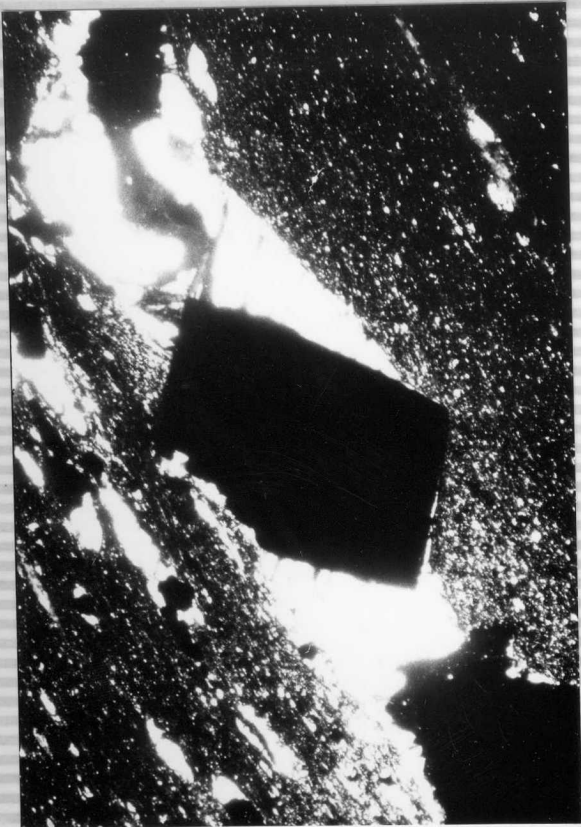
1.008.- Caliza de Vegadeo. MC-1.008
N // 90 (CA₁C).



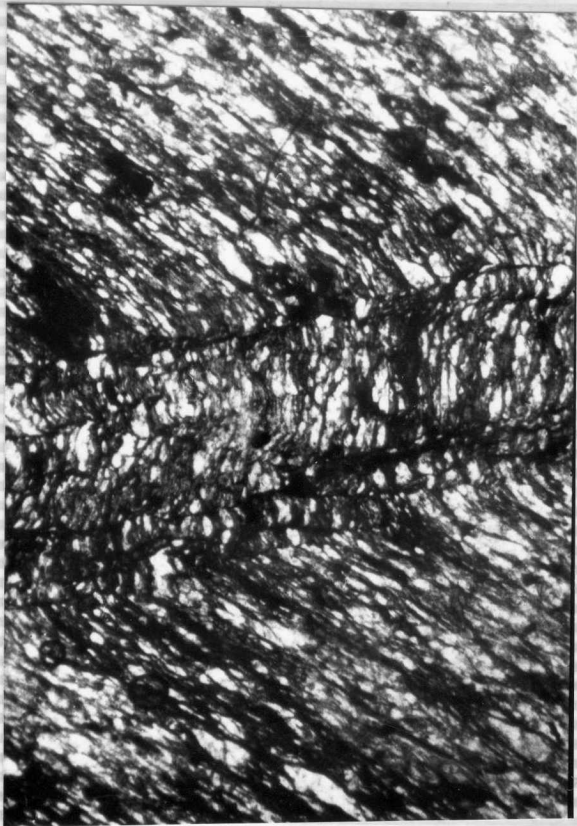
514.- Aspecto de la esquistosidad principal S_1 en una arenisca de la Serie de Villalba. Cuarzo alargado biotita paralela, GL-514. N // 140 (PCξ+ξA).



505.- Arenisca de la Serie de Villaalba, con biotitas post. fase 1. Granos de cuarzo alargados según S_1 . GL-505. N // 140. (PC ζ + ζ A).



18.- Pizarras ampelíticas de la base de las Capas de tránsito. Cristal de pirita con marcada sombra de presión. PM-18. N // 90. (CA_1P_2).



73.- Pizarra de la Serie de Villalba con kink-bands. PM-73. N // 90. (PC ξ + ξ A) .